

# Анализ затухания волн: L=500, DW=160, R=0.01

## Параметры моделирования

- Длина образца:  $L = 500$  м
- Ширина образца:  $DW = 160$  м
- Коэффициент затухания:  $R = 0.01$
- Модуль Юнга:  $E$ , Коэффициент Пуассона:  $\nu$ , Плотность:  $\rho$

## Расчётные скорости волн

- Аналитическая скорость продольной волны:  $v_p = 376.43$  м/с
- Аналитическая скорость поперечной волны:  $v_s = 201.21$  м/с
- Аналитическая скорость Рэлеевской волны:  $v_r = 186.35$  м/с
- Временной шаг:  $\Delta t = 3.22e - 04$  с
- Экспериментальная скорость поперечной волны:  $v_s^{exp} = 250.00$  м/с
- Экспериментальная скорость отраженной продольной волны:  $v_p^{ref} = 192.25$  м/с
- Величина ошибки:  $\varepsilon = 1.81e - 08$

## Анализ прихода продольной волны

- Аналитическое время прихода продольной волны:  $t_{analytical} = 1.33$  с
- Экспериментальный индекс прихода продольной волны: 4194
- Экспериментальное время прихода продольной волны:  $t_{wave} = 1.35$  с
- Скорость пришедшей продольной волны:  $v_p^{exp} = 369.76$  м/с
- Длина продольной волны в индексах: 1180
- Длина продольной волны в метрах:  $\lambda_p = 140.64$  м

## Анализ пересечения волн

- Экспериментальное время пересечения волн:  $t_{intersection} = 1.72$  с
- Экспериментальный индекс пересечения волн: 5330
- Экспериментальное расстояние пересечения волн:  $x_{intersection} = 429.60$  м
- Номер приемника, ближайшего к пересечению: 21
- Индекс прихода падающей волны через ресивер пересечения: 3523

## Визуализация тензора

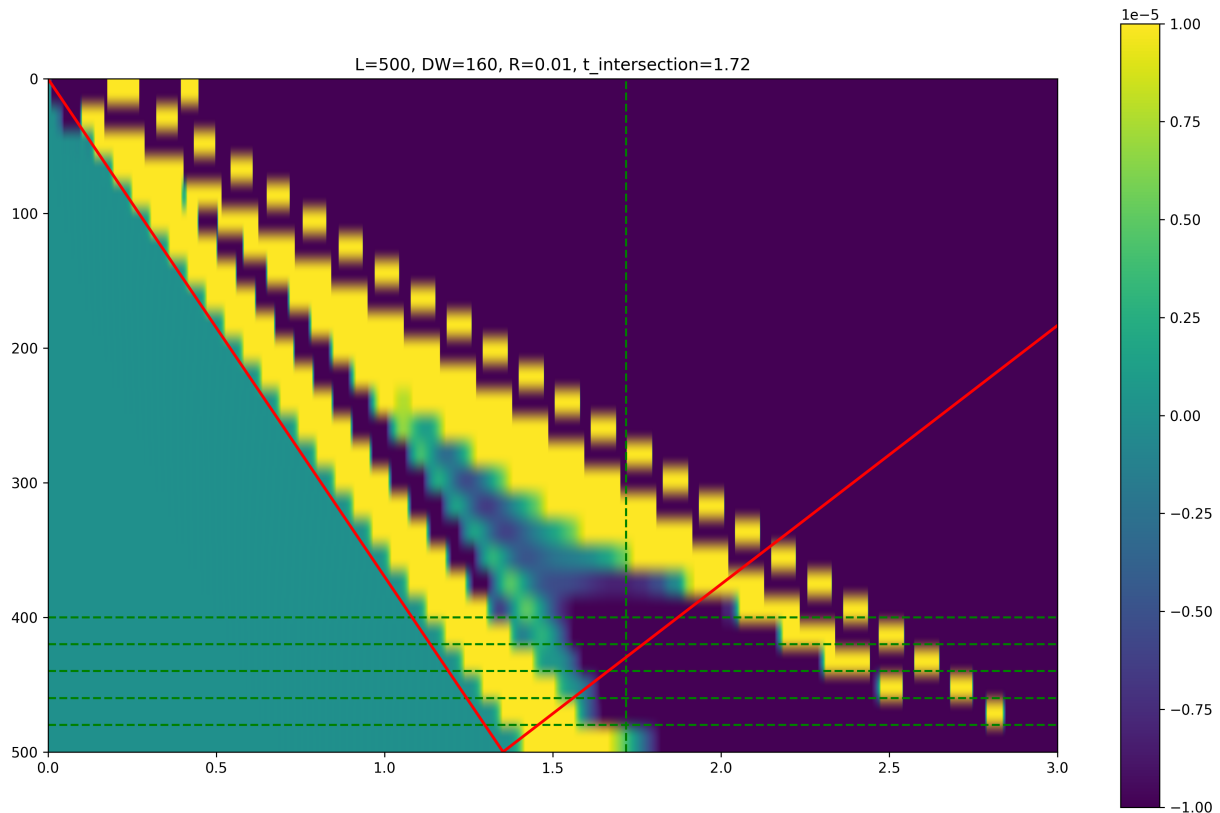


Рис. 1: Визуализация распространения волн в среде

## Анализ волн

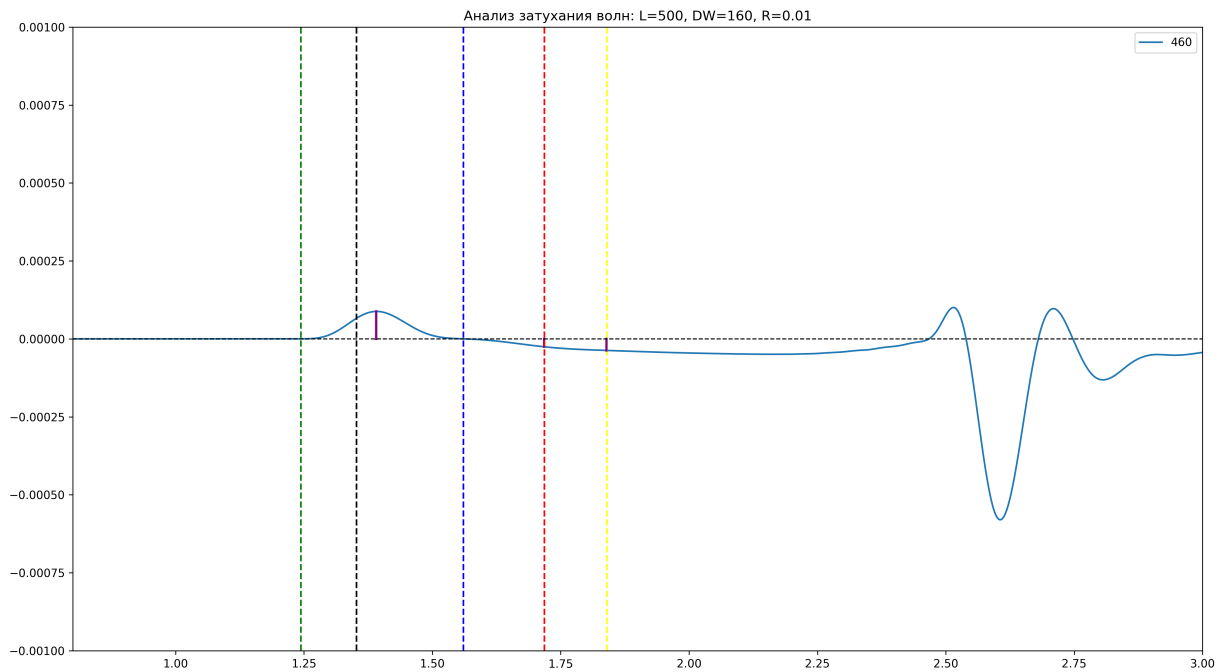


Рис. 2: Анализ падающих и отраженных волн

## Результаты анализа амплитуд

Позиция (м)	$t_{p,fall}$ (с)	$t_{p,refl}$ (с)	$t_{s,fall}$ (с)	$t_{int}$ (с)	$A_{p,fall}$	$A_{p,refl,0}$	$A_{p,refl,1}$	Ratio 0 (%)	Ratio 1 (%)
460.0	1.244	1.560	1.840	1.718	8.802e-05	2.537e-05	3.706e-05	28.82%	42.10%